

بهبود بهره‌وری و راهبردی مبتنی بر تأثیر هیدرودینامیک و موازنه جرم در فرایند تولید اسید گلوتامیک

رضا روستا آزاد

مینا طباطبائی

منوچهر وثوقی

دانشکده مهندسی شیمی، گروه بیوتکنولوژی، دانشگاه صنعتی شریف

چکیده

تولید گلوتامیک اسید به روش تخمیری توسط باکتری *Corynebacterium glutamicum* مورد بررسی قرار گرفت. در این راستا، تأثیر نوع محیط کشت، میزان هوادهی و نیز نوع بیوراکتور، اعم از فلاسک گردان، بیوراکتور همزن دارو بیوراکتور Airlift تحلیل شد. در بیوراکتور همزن دار، بهترین نتیجه در روش Mixed Fed Batch در شرایط بهینه یعنی میزان هوادهی ۲ vvm / ۱ و دور همزن ۵۰۰ rpm برابر ۱۰۱ g/ گلوتامیک اسید بدست آمد. در مرحله بعد، نتایج حاصل از بیوراکتور همزن دار با میزان تولید در بیوراکتورهای ایرلیفت مقایسه گردید. در راکتور ایرلیفت در حوزه هوادهی ۲ vvm - ۱ / ۲، بهترین میزان تولید در هوادهی ۳ vvm معادل ۱۸ g/l و بهترین میزان تولید به ازای انرژی مصرفی، در هوادهی ۲ vvm معادل ۱۹۸/۳۴ g/W بدست آمد. در نرخ هوادهی ۲ vvm، محیط کشت‌های مبتنی بر ملاس چغندر قند و نیشکر در راکتور ایرلیفت مورد مقایسه قرار گرفت و بهترین نتیجه در محیط ملاس نیشکر با میزان تولید ۳۰ g/l حاصل شد.

کلمات کلیدی

گلوتامیک اسید، فرمانتاسیون - باکتری - کرینه باکتریوم گلوتامیکم بیوراکتور همزن دار - ایرلیفت.

Improving the Yield Operation Based on the Effect of Hydrodynamics in Glutamic Acid Fermentation

M. Tabatabaie

R. Roosta azad

M. Vossoughi

Chemical Engineering Department, Sharif University Of Technology

Abstract

Production of Glutamic acid via fermentation of C. glutamicum was studied. Among the parameters which affect the bacterial growth and GA production, are the medium composition, dissolved oxygen and hydrodynamics. Therefore, effect of change in the broth constituents, rate of aeration and type of the bioreactor including shake flask, stirred bioreactors and airlift were investigated. At the first stage, in the shake flask, sugar consumption and biomass production was checked in the media based on beet and cane molasses. In the next step, a fed batch protocol in which a 12% ammonia solution was used to set the pH was studied in the stirred bioreactor. Following this, due to the too low sugar concentration at the onset of the production phase, double and mixed fed batch modes of operation in which aside from ammonia, molasses was fed to the fermenter at the specific rate was tested. In the stirred bioreactor, the best result in the mixed fed batch and at the optimum conditions namely aeration rate of 1.2 vvm and rotation speed of 500rpm was as high as 10g/l of Glutamic acid. At the 3rd stage, result of the stirred bioreactor was compared against that of an Airlift fermenter. In the ALF, in the aeration rates from 1.2-3vvm, the best production was achieved in the maximum aeration as 18/l and the best production vs. energy Consumption was at the 2vvm aeration as 198g/energy. At the 2vvm aeration, production in the beet and cane molasses based media were compared in the ALF. The best result was obtained in the medoum based on cane molasses which was as high as 30g/l.

Keywords

glutamic acid-Fermentation-Corynebacterium Glutamicum- Airlift-Beffled Bioreactor

مقدمه

گلوتامیک اسید که از اجزاء ساختاری پروتئینها می باشد، مصرف عمده ای در صنایع غذایی و دارویی به عنوان چاشنی و مطبوع کننده طعم دارد. نمک سدیم این اسید آمینه یعنی منو سدیم گلوتامیک در مواد غذایی کنسرو شده و سوپهای آماده، انواع ماکارونی، صنایع بیسکویت سازی و سوسیس و کالباس قابل استفاده است. علاوه بر آن کاربردهای متنوع دیگری نیز در صنایع آرایشی و بهداشتی و صنایع شیمیایی برای گلوتامیک اسید و مشتقات آن ذکر شده است [۱]. از نظر تاریخی، تولید تخمیری گلوتامیک اسید پایه گذار صنعت تولید اسیدهای آمینه دیگر بوده است و با تولید گلوتامیک اسید در سال ۱۹۶۲، تحقیقات وسیعی برای تولید انواع دیگر اسیدهای آمینه و تولید صنعتی آنها آغاز شد. [۲] روش تولید صنعتی در حال حاضر، روش فرمانتاسیون می باشد و تولید سالانه آن معادل ۶۰۰ هزار تن است. [۳]

علیرغم سابقه تاریخی طولانی صنعت تخمیری در حوزه تولید گلوتامیک اسید، بررسی تأثیر شرایط هیدرودینامیکی و از جمله مقایسه عملکرد این کشت در بیوراکتورهای ایرلیفت و همزن دار در منابع منتشره ناچیز است. بنابراین به دلیل محاسن زیادی که برای بیوراکتورهای ایرلیفت وجود دارد. از جمله: عدم وجود قسمتهای متحرک مکانیکی، شدت تنش کم، تجهیزات و طراحی ساده مخصوصاً در هنگام بزرگ سازی مقیاس، کارکرد آسان در شرایط استریل با توجه به طراحی ساده آن، سطح تماس مخصوص زیاد در انرژی ورودی کم (بازده خوب انرژی)، سعی شد نتایج حاصل در بیوراکتورهای همزن دار با میزان تولید در بیوراکتورهای ایرلیفت مقایسه شود. علاوه بر آن، در تحقیقاتی که اخیراً در این حوزه صورت گرفته [۴] نتایج جالبی در رابطه با نظام راهبری Fed Batch (MFB) Mixed پیشنهاد گردیده ولی آزمایشات جهت تحقیق این فرضیه ارائه نشده است. لذا در تحقیق حاضر ضمن بررسی مسائل عمومی تخمیر گلوتامیک اسید، روش MFB و نیز عملکرد مقایسه ای بیوراکتورهای ایرلیفت و همزن دار مورد نظر قرار گرفته است. بخصوص تولید گلوتامیک اسید از دیدگاه مصرف انرژی کمتر و تولید بیشتر مورد توجه قرار گرفت. بنابراین تولید در دو بیوراکتور همزن دار و ایرلیفت با استفاده از محیط کشتهای طبیعی مبتنی بر ملاس چغندر قند و نیشکر در نظام

جدول (۱) ترکیب محیط پیش کشت و کشت اصلی با استفاده از ملاس چغندر قند.

ترکیب مواد	پیش کشت (g/L)	کشت اصلی (g/L)
ملاس نیشکر	۱۰۰	۶۰۰
KH_2PO_4	۲	۲/۵
$MgSO_4 \cdot 7H_2O$	۰/۵	۰/۵
$MnSO_4 \cdot 2H_2O$	—	۰/۰۰۵
$FeSO_4 \cdot 7H_2O$	—	۰/۰۰۵
انرژی	۸	—

جدول (۲) ترکیب محیط پیش کشت و کشت اصلی با استفاده از ملاس نیشکر.

ترکیب مواد	پیش کشت (g/L)	کشت اصلی (g/L)
ملاس چغندر قند	۱۰۰	۱۰۰
عصاره مخمر	۵	۰/۵
$(NH_4)_2SO_4$	—	۴
KH_2PO_4	۰/۷۵	۰/۷۵
K_2HPO_4	۰/۷۵	۰/۷۵
$MgSO_4 \cdot 7H_2O$	۰/۴	۰/۴
$MnSO_4 \cdot 2H_2O$	۰/۰۰۲	۰/۰۰۲
$FeSO_4 \cdot 7H_2O$	۰/۰۰۲	۰/۰۰۲

عملیاتی MFB با یکدیگر مقایسه گردید. در این بررسی ها به عنوان مبنای مقایسه از میزان تولید به ازای واحد مصرفی استفاده شد.

مواد و روشها

باکتری مورد استفاده *Corynebacterium glutamicum* ATCC 13032 می باشد که به صورت هوازی بر روی اسلنت آگار مغذی رشد می کند. محیط پیش کشت و کشت اصلی مطابق جدول ۱ و ۲ است [۵].

شرایط محیط پیش کشت و کشت اصلی در فلاسک گردان، دمای 32°C ، دور 200 rpm و $\text{pH}=7/6$ و زمان رشد $16-20$ ساعت برای پیش کشت می باشد که پس از این زمان، تلقیح به میزان $10\%(\text{V/V})$ از محیط پیش کشت به کشت اصلی انجام می شد. به دلیل اینکه از محیط کشتهای طبیعی ملاس به عنوان منبع کربنی استفاده شد و این محیطها حاوی مقدار نسبتاً بالای بیوتین می باشند، بنابراین در زمانی که رشد سلولی به حد $7/5-7/7(\text{gdw/L})$ [۴] می رسید، برای اینکه رشد متوقف و محصول گلوتامیک اسید به محیط برون سلولی ترشح شود، محلول پنی سیلین که به وسیله آب مقطر استریل تهیه می گردید، به میزان 6 unit/ml [۵] به محیط کشت تزریق می شد.

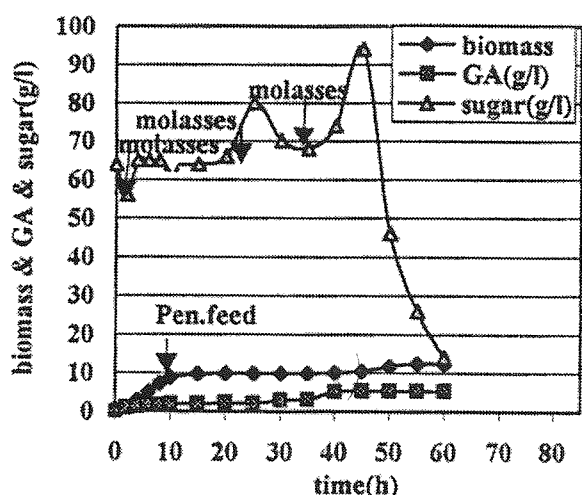
دانسیته سلولی به روش کدورت سنجی در طول موج 610 nm و استفاده از منحنی استاندارد رشد سلولی بدست آمد [۶] اندازه گیری میزان گلوتامیک اسید تولیدی از روش آنزیمی در ناحیه UV و با استفاده از آنزیم گلوتامات دهیدروژناز (GIDH, EC 1.4.1.2) (GIDH. Boehringer mannheim, Germany) انجام شد [۷]. روش سنجش قند موجود به روش رنگ سنجی نلسون-سوموژی و با استفاده از منحنی استاندارد صورت گرفت [۸].

نتایج و بحث

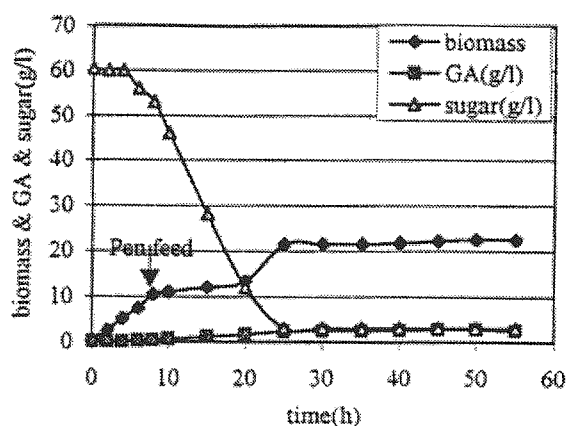
برای بررسی میزان تولید محصول گلوتامیک اسید، بیوراکتور همزن دار در حالت fed batch در شرایط هوادهی $1/27\text{vvm}$ و دور 500 rpm در $\text{pH}=7/6$ راه اندازی شد که در آن از آمونیاک 12% تنظیم pH استفاده شد. نتایج این بررسی در شکل ۱ آمده است.

در ادامه این بررسی، به دلیل میزان قند ناچیز در ابتدای فاز تولید، از روش double fed batch استفاده شد که در آن علاوه بر آمونیاک، ملاس هم که به صورت محلول استریل 50% تهیه شده بود، در زمانهایی که افت قند ایجاد می شد، بصورت جداگانه تزریق می گردید. این نتایج در شکل (۲) آمده است.

همانطور که در شکل ۲ مشاهده می شود، کنترل میزان قند مصرفی با نمونه گیری متوالی علاوه بر مشکلات عملیاتی که دارد، از دقت خوبی هم برخوردار نیست. زیرا امکان دارد در زمانهایی میزان قند بیش از حد بهینه شود. بنابراین اثر بازدارندگی سوبسترا مشاهده می شود. برای رفع مشکلات ذکر شده، یعنی جبران افت قند در فاز قند در فاز تولید میکروارگانسیم و همینطور

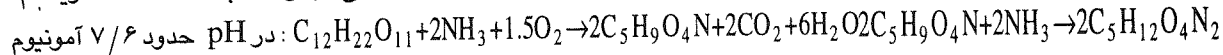


شکل (۱) منحنی رشد و تولید محصول گلوتامیک اسید و کاهش قند در روش double fed batch (شرایط عملیاتی مانند شکل ۱)

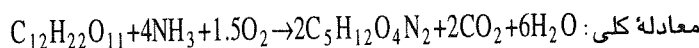


شکل (۲) منحنی رشد و تولید محصول و کاهش قند در روش fed batch (هوادهی $1/27\text{vvm}$ ، دور 500 rpm ، دما 32°C ، $\text{pH}=7/6$ ، حجم محیط کشت $3/3$ لیتر)

از بین بردن اثر بازدارندگی سوبسترا در اثر افزودن ناگهانی خوراک ملاس، بررسی دیگری انجام شد تا در صورت امکان بتوان بدون نیاز به سنسوری خاص، میزان قند تزریقی را کنترل کرد. برای این منظور با توجه به مراجع [۹] و با توجه به رابطه استوکیومتری در فاز تولید که مقدار توده سلولی در آن ثابت است داریم:

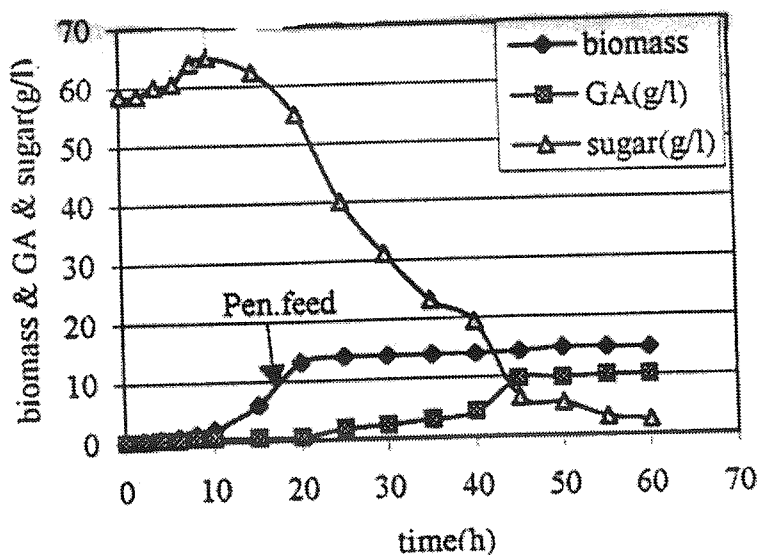


گلوتامات



و از اینجا نسبت قند به آمونیاک مصرفی برابر ۵ بدست می آید که با مقدار تجربی یعنی ۳ [۴] حدود ۲ واحد تفاوت دارد که این تفاوت تا حدودی می تواند به تبخیر آمونیاک در فرایند مربوط باشد. بنابراین در عملیات بعدی امکان ایجاد سیستم Mixed Fed Batch فراهم شد که در آن ملاس و آمونیاک به نسبتی که میزان قند ملاس به آمونیاک مصرفی برابر ۳ باشد و در ضمن در اثر وارد کردن خوراک به فرمانتور، ریق سازی محیط کشت هم رخ ندهد، به فرمانتور وارد می شد و مقدار افت قند هم با توجه به این نسبت به طور اتوماتیک به وسیله حس گر pH، کنترل می شد.

در این فرایند، مسئله دیگری که مطرح شد، بالا رفتن غلظت بیوتین در محیط کشت در اثر تزریق خوراک ملاس بود که باعث رشد شدید باکتریها و عدم نفوذ پذیری آنها در جهت ترشح گلوتامیک اسید به محیط برون سلولی می گردید. برای رفع این مشکل، پس از طی شدن فاز رشد و تزریق پنی سیلین به محیط کشت، به خوراک ورودی نیز با توجه به حجم خوراک، در حد بهینه پنی سیلین تزریق می شد تا اثر سوء ناشی از بیوتین بالا را از بین ببرد. بهترین نتیجه برای بیوراکتور همزن دار با خوراک ملاس چغندر قند با شرایط هوادهی ۱/۲ vvm و دور همزن ۵۰۰ rpm برابر ۱۰ (g/L) گلوتامیک اسید بدست آمد. نتایج در شکل (۳) آمده است.



شکل (۳) منحنی رشد و تولید محصول و کاهش قند در بیوراکتور

همزن دار به روش Mixed fed Batch

(شرایط عملیاتی مانند شکل ۱).

در مطالعات مربوط به راکتور ایرلیفت، به دلیل حذف همزن مکانیکی در سیستم، لازم بود میزان هوادهی برای رشد و تولید و ایجاد همزدگی مناسب، با استفاده از تجربه حاصل در بیوراکتور همزن دار تعیین شود. در مورد بیوراکتور همزده، عمده توان مصرفی مربوط به همزن می باشد که محاسبه مقدار آن به صورت زیر است:

$$P_{no} = \frac{\rho g_c}{P N^3 i D_i^5} \text{ و } g_c = 1 \frac{\text{kg} \cdot \text{m}}{\text{N} \cdot \text{s}^2} \quad (\text{رابطه } ۱)$$

$$\left\{ \begin{array}{l} \rho = 1/117 \times 10^{-2} \frac{\text{kg}}{\text{m}^3} \\ \mu = 1/75 \text{CP} = 1/75 \times 10^{-2} \frac{\text{kg}}{\text{m.s}} \\ N_1 = 500 \text{rpm} = 8/3 \text{s}^{-1} \quad \text{Re} = \frac{\rho N_1 D_i^2}{\mu} = 4/7 \times 10^{-2} \xrightarrow{\text{(با توجه به منحني های توان [10])}} P_{su} = 6 \\ D_i = 1 \text{cm} = 1/100 \text{m} \end{array} \right.$$

(۱) با توجه به رابطه $P_{12/55W}$

وقتی که تانک همزده هوادهی هم شود، توان مصرفی برای همزن کاهش می یابد. پس داریم:

$$N_a = \frac{F_g}{N_1 D_i^2} \quad \text{(رابطه ۲)}$$

$$\left\{ \begin{array}{l} \text{هوادمی} = 1/277 \text{vm} \\ \text{حجم} = 2/2 \text{L} \end{array} \right. \Rightarrow F_g = 6/6 \times 10^{-5} \text{ m}^3/\text{s} \Rightarrow N_a = 1/57 \times 10^{-2}$$

$$\Rightarrow \frac{P_a}{P} = 0/91 \Rightarrow P_a = 11/42 \text{W} \quad \text{(با توجه به منحني های توان [10])}$$

انرژی مصرفی برای انبساط آدیاباتیگاز در مخزن به صورت زیر محاسبه می شود [۱۰]

$$P_g = \rho F_g \left[\frac{RT}{MW} \ln \frac{P_1}{P_2} + 0/06 \frac{U_0^2}{2} \right] \quad \text{(رابطه ۳)}$$

$$P_g = (1/1) (6/6 \times 10^{-5}) (10^2)$$

$$= 9/517 \times 10^{-2} \text{W} \left(\frac{8/214 \times 20.5}{28/8} \ln 1/0.15 \right)$$

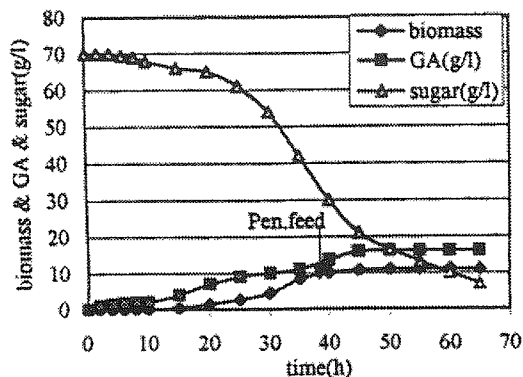
$$\text{کل } P = 11/42 + 9/517 \times 10^{-2} = 11/515 \text{W}$$

برای فرمانتور ایرلیفت توان مصرفی تنها مربوط به قسمت هوادهی و انبساط آدیاباتیگاز می شود. بنابراین با در نظر گرفتن مقدار انرژی مصرفی برابر با تانک همزده دارای هوادهی، مقدار هوای ورودی برای این بیوراکتور تخمین زده شد. برای این منظور در رابطه (۳) داریم:

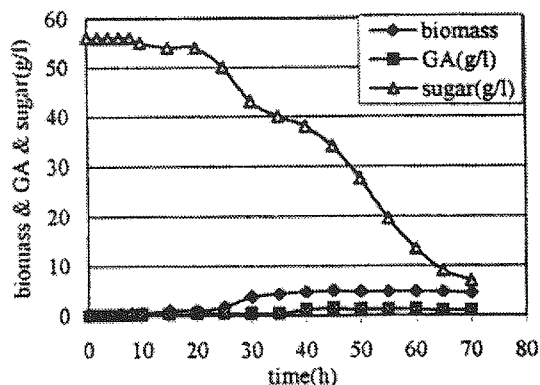
$$11/515 = (1/1) F_g (10^2)$$

$$\left(\frac{8/214 \times 20.5}{28/8} \ln 1/0.25 \right) \Rightarrow \left\{ \begin{array}{l} F_g = 4/8 \times 10^{-2} \text{ m}^3/\text{s} \\ V_{AIF} = 6 \text{ lit} \end{array} \right. \Rightarrow \text{هوادمی} = 487 \text{vm}$$

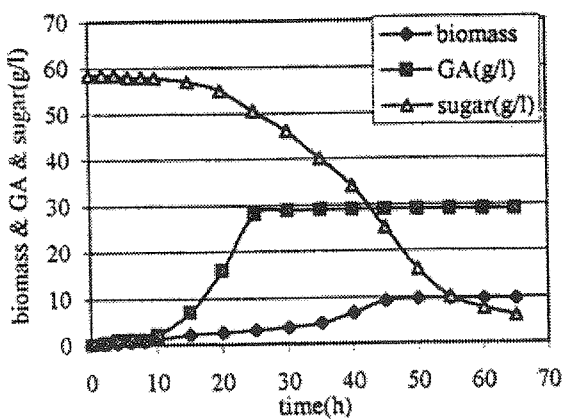
که با این میزان هوادهی، مقدار انباشتی (hold up) فوق العاده بالا است و سیستم از حوزه sparging خارج و به حوزه pneumatic conveying وارد می شود. بنابراین این فرضیه بوجود می آید که با هوادهی کمتر، بتوان مقدار تولید را داشت که این امر بسیار مطلوب است. پس در حوزه هوادهی ۱/۲-۳۷۷vm میزان تولید در ایرلیفت مقایسه گردید که این نتایج در شکل های (۴) و (۵) و (۶) آمده است:



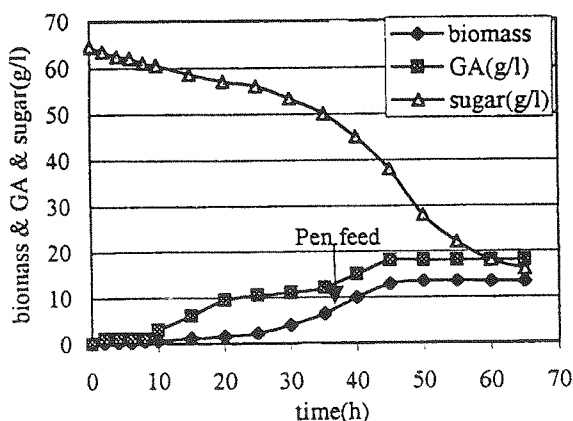
شکل (۵) منحنی رشد و تولید محصول و کاهش قند در بیوراکتور ایرلیفت در هوادهی متوسط (۳ vvm) (شرایط عملیاتی مانند شکل ۴).



شکل (۴) منحنی رشد و تولید محصول و کاهش قند در بیوراکتور ایرلیفت در هوادهی بانین (۱/۲ vvm) (pH=۷/۶، حجم کل ۶ لیتر، دما ۳۲°C).



شکل (۷) منحنی رشد، تولید گلوتامیک اسید و کاهش قند در بیوراکتور ایرلیفت با محیط کشت حاوی ملاس نیشکر (هوادهی ۲.۷ vvm، حجم کل ۶ لیتر)



شکل (۶) منحنی رشد و تولید محصول و کاهش در بیوراکتور ایرلیفت در هوادهی بالا (۱/۲ vvm) (شرایط عملیاتی مطابق شکل ۴).

در این حالت بهترین میزان تولید در هوادهی ۲ vvm برابر ۱۸ (g/L) بدست آمد.

از طرفی برای فرایند اقتصادی و بالا بازده از دیدگاه مهندسی، میبخت مهم کاهش هزینه های مصرف انرژی می باشد. برای این منظور ابتدا محاسبات انرژی مصرفی برای سیستم همزن دار و ایرلیفت انجام شد و به عنوان یک مبنای اقتصادی برای مقایسه از میزان تولید محصول به ازای واحد توان مصرفی استفاده شد.

$$\text{eff} = \frac{\text{میزان تولید گلوتامیک اسید}}{\text{انرژی مصرفی}} = \text{eff (بازده اقتصادی)}$$

$$V = 3/3 \text{ lit} \Rightarrow \text{eff} = \frac{10 \text{ g/L} \times 3 \text{ L}}{11/515 \text{ J/S}}$$

$$= 2/86 \frac{\text{g}}{\text{W}}$$

برای بیوراکتور ایرلیفت، میزان انرژی مصرفی در واحد حجم در حوزه هوادهی ۱/۲-۳ vvm با توجه به رابطه (۲) محاسبه شد که نتایج به این شرح است: ($V_{ALF} = 6 \text{ lit}$)

$$\text{هوادهی} = 1/2 \text{ vvm} \Rightarrow Fg_1 = 1/2 \times 10^{-2} \text{ m}^3/\text{s} \Rightarrow P_1 = 0/29 \text{ W} \Rightarrow \text{eff}_1 = \frac{1/3 \times 6}{0/29} = 28/96 \text{ g/W}$$

$$\text{هوادهی} = 2 \text{ vvm} \Rightarrow Fg_r = 2 \times 10^{-2} \text{ m}^3/\text{s} \Rightarrow P_r = \\ \cdot / 484 \text{ W} \Rightarrow \text{eff}_r = \frac{16 \times 6}{\cdot / 484} = 198 / 34 \text{ g/W}$$

$$\text{هوادهی} = 3 \text{ vvm} \Rightarrow Fg_r = 3 \times 10^{-2} \text{ m}^3/\text{s} \Rightarrow P_r = \\ \cdot / 726 \text{ W} \Rightarrow \text{eff}_r = \frac{18 \times 6}{\cdot / 726} = 148 / 76 \text{ g/W}$$

با مقایسه بازده تولید محصول به ازای واحد انرژی مصرفی برای هر دو سیستم مشاهده شد که این عدد برای بیوراکتور ایرلیفت با هوادهی 2 vvm بیشترین است. در نتیجه این سیستم به جز محاسن دیگری که دارد، از نظر مصرف انرژی هم اقتصادی تر است.

در مرحله آخر، در نرخ هوادهی 2 vvm، محیط کشتهای مبتنی بر ملاس چغندر قند و نیشکر در راکتور ایرلیفت مورد مقایسه قرار گرفت و بهترین نتیجه در محیط ملاس نیشکر با میزان تولید 30 (g/L) گلوتامیک اسید حاصل شد. این نتایج در شکل (7) آمده است:

نتیجه گیری

با توجه به نتایج بدست آمده، روش عملیاتی MFB در حصول بازده بالای گلوتامیک اسید و در عین حال سهولت راهبری فرایند با استفاده از حسگرهای اسیدیته عملی و مؤثر به نظر می رسد. در این روش، با اعمال بهترین شرایط عملیاتی یعنی هوادهی 2 vvm / 1، دور 500 rpm، دما 32°C و pH= 7/6، بهره وری اسید معادل 10 g/L بدست آمد. با بهره گیری از هیدرودینامیک برتر یعنی استفاده از راکتورهای ایرلیفت، این بهره وری در شرایط هوادهی 2 vvm به 18 g/L ترقی نمود در حالیکه بهترین میزان تولید به ازای انرژی مصرفی در هوادهی 2 vvm معادل 198/34 g/W بدست آمد. در همین نرخ هوادهی، کشت سلولی و تولید گلوتامیک اسید در محیطهای مبتنی بر ملاس چغندر قند و نیشکر مورد مقایسه قرار گرفت و در نتیجه در محیط مبتنی بر ملاس نیشکر با افزایش تولید حدود 60٪ گلوتامیک اسید با غلظت 30 g/L بدست آمد.

فهرست علائم و اختصارات

F_g = دبی حجمی گاز (m ³ /s)	P_{on} = عدد توان (بدون بعد)
V = حجم محیط کشت (Lit)	ρ = جرم حجمی محیط کشت (kg/m ³)
Pa = توان مصرفی مخزن همزن دار در حال هوادهی (W)	P = توان مصرفی (W)
P_g = توان مصرفی برای انبساط گاز در مخزن به سبب هوادهی (W)	N_i = دور همزن (S ⁻¹)
eff = بازده اقتصادی	D_i = قطر همزن (m)
P_1 = فشار در پائین مخزن (atm)	Re = عدد رینولدز (بدون بعد)
P_r = فشار در بالای مخزن (atm)	μ = ویسکوزیته محیط کشت (kg/m.s)
U_0 = سرعت ظاهری گاز (m/s)	N_{ii} = شدت هوادهی (بدون بعد)

مراجع

- [1] Kirk-Othmer, Encyclopedia of chemical Technology (1984), Vol.2, PP. 156-212.
- [2] Yamada, Kinoshita, Tsunoda and Aida (1972), The microbial production of amino acids. PP. 204-364.
- [3] Shaoxum Huang, Xingyan Wu, J. chem. Tech. Biotech.(1995), Vol. 64, PP. 109-114.
- [4] جواد زمانی بررسی تاثیر هوادهی در تولید اسید گلوتامیک با استفاده از C.glutamicum پروژه کارشناسی ارشد - دانشگاه صنعتی شریف (1377) صفحه 95
- [5] Kitsuta. Y., Kishimoto. M. (1994), Biotech. Bioeng., Vol. 44, PP. 87-94.
- [6] Kishimoto. M., Kitta. Y., Takeuchi. S. (1991), J. of Ferment. and Bioeng., Vol. 72, No.2, PP. 110-114.
- [7] Bermeyer, "Method of enzymatic analysis; Vol.8, PP. 357-376.
- [8] Whistler & Wolfrom (1952), "Methods in carbohydrate chemistry". Vol. 1, Pp. 386-388.
- [9] Kishimoto. M., Kitta. Y., Takeuchi.S. (1991), J. of Fermentation and Bioeng., Vol. 72, No.2, PP. 110-114.
- [10] Bailey. J.F., Ollis.D. (1986), Biochemical Eng. Fundamentals, McGraw-Hill book Co., New York, PP. 457-470.